

Figure 4: Cesium $6^2S_{1/2}$ (ground) level hyperfine structure in an external magnetic field. The levels are grouped according to the value of F in the low-field (Zeeman) regime and m_j in the strong-field (hyperfine Paschen-Back) regime.

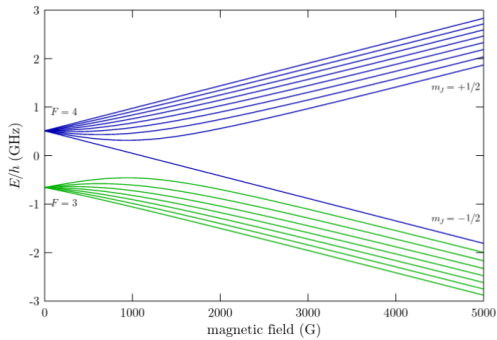
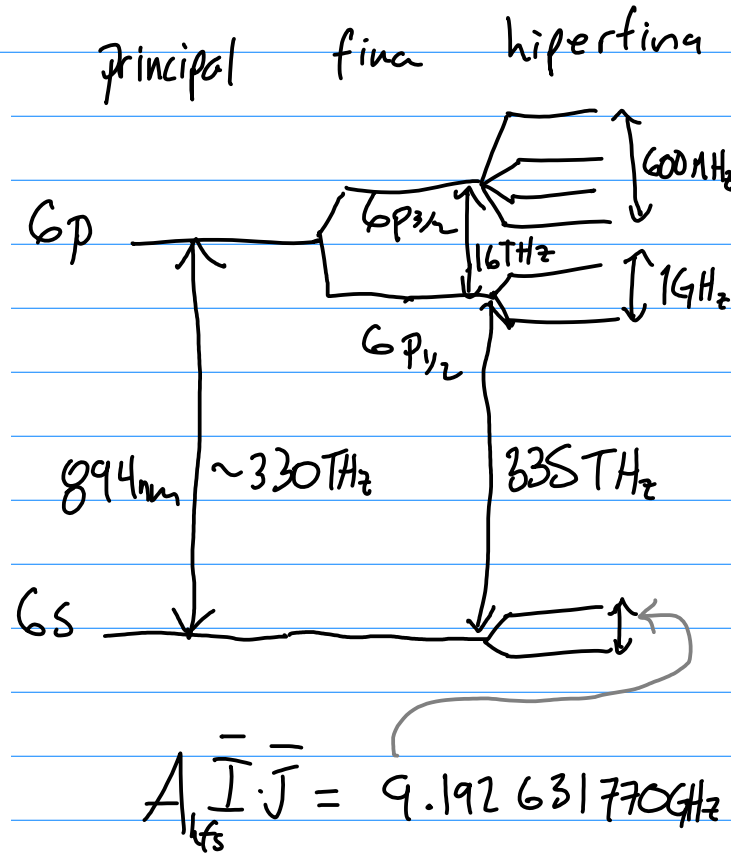


Figure 5: Cesium $6^2P_{1/2}$ (D_1 excited) level hyperfine structure in an external magnetic field. The levels are grouped according to the value of F in the low-field (Zeeman) regime and m_j in the strong-field (hyperfine Paschen-Back) regime.



$$\Delta E_z \sim \frac{\mu_B}{h} (L_z + 2S_z) B$$

$1.4 MHz/G$

Para que $\Delta E_z \sim H_{so}$ $B \sim 16,000,000 G$

$B_{MRI} \sim 20,000 G$

$B_{magnetar} \sim 10^{13} - 10^{15} G$

Efecto Zeeman en estructura hiperfina

Un estado hiperfino $| \gamma L S J I F \rangle$ es $2F+1$ veces degenerado y al aplicar un B se separan.

Para un núcleo con momento magnético dipolar $\vec{\mu}_N$ hay una interacción

$$- \vec{\mu}_N \cdot \vec{B}$$

Recordemos que para núcleos con espín $I > \frac{1}{2}$ existen momentos magnéticos de mayor orden. (aquel los ignoraremos).

La interacción del átomo con el campo magnético:

$$H_2 = \frac{\mu_B}{\hbar} (\vec{L} + 2\vec{S}) \cdot \vec{B} - g_N \frac{\mu_N}{\hbar} \vec{I} \cdot \vec{B}$$

momento nuclear

Además tenemos

$$H_{\text{átomo}} = H_0 + H_{so} + H_{\text{hfs}}$$

$\sim L \cdot S$ $\sim I \cdot J$

hiperfino

Para

$$H = H_0 + A_{fs} \vec{L} \cdot \vec{S} + A_{hfs} \vec{I} \cdot \vec{J} + \frac{\mu_B}{\hbar} (\vec{L} + 2\vec{S}) \cdot \vec{B} - g_N \frac{\mu_N}{\hbar} \vec{I} \cdot \vec{B}$$

• $\frac{1}{2}(J^2 - L^2 - S^2)$ • $\frac{1}{2}(F^2 - I^2 - J^2)$ \uparrow \uparrow
• $L_z S_z + \frac{1}{2}(L_+ S_- + L_- S_+)$ • $I_z J_z + \frac{1}{2}(\dots)$ \uparrow \uparrow
• L_z, S_z • I_z

Podemos usar las siguientes bases:

- $|L M_L S M_S I M_I\rangle$
- $|L S J M_J I M_I\rangle$
- $|L S J I F M_F\rangle$

\therefore No hay una base conveniente para evaluar todo.

En el límite de campo débil de estructura fina

$$H_z = g_J \frac{\mu_B}{\hbar} \vec{J} \cdot \vec{B}$$

pues

$$\Delta E_z = g_J \mu_B m_J B$$

(si no se mezclan niveles de estructura fina)

El Hamiltoniano

$$H = H_0 + A_{fs} \vec{L} \cdot \vec{S} + A_{hfs} \vec{I} \cdot \vec{J} + \left(\frac{\mu_B}{\hbar} g_J \vec{J} - \frac{\mu_N}{\hbar} g_I \vec{I} \right) \cdot \vec{B}$$

en otra notación $+ \frac{\mu_B}{\hbar} g'_I \vec{I}$

$$H = H_0 + A_{fs} \vec{L} \cdot \vec{S} + A_{hfs} \vec{I} \cdot \vec{J} + \frac{\mu_B}{\hbar} (g_J \vec{J} + g'_I \vec{I}) \cdot \vec{B}$$

\uparrow
 $\frac{1}{2}(J^2 - L^2 - S^2)$

mucho más chico

Podemos ignorar este para $\mu_B \ll \Delta E_{fs}$

$$\frac{1}{2}(F^2 - I^2 - J^2)$$

Lo que queda es $H = A_{hfs} \vec{I} \cdot \vec{J} + \frac{\mu_B}{\hbar} g_J \vec{J} \cdot \vec{B}$

Podemos evaluar con

$$|LSJM_J I M_I\rangle$$

$$|LSJIF M_F\rangle$$

no diagonal

diagonal

diagonal

¿Cómo evaluar

$$\langle L'S'J'I'F'M_F' | J_z | L'SJIFM_F \rangle ?$$

$$|FM_F\rangle = \sum_{M_I, M_J} |JM_J I M_I\rangle \underbrace{\langle JM_J I M_I | FM_F\rangle}_{\text{coeff. de Clebsch-Gordan}}$$

Los distintos límites

- Campo débil (comparado con H_{hfs})

$$H = A_{\text{hfs}} \vec{I} \cdot \vec{J} + \frac{\mu_B g_J}{\hbar} \vec{J} \cdot \vec{B}$$

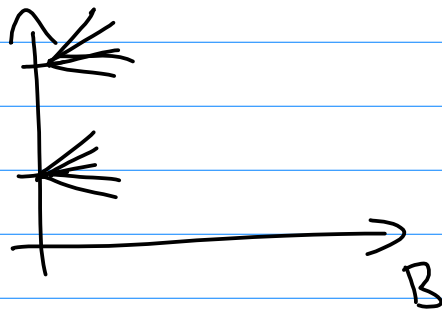
$|FM_F\rangle$

↑
perturbación

↓
con teorema de la proyección

$$\frac{\mu_B g_F}{\hbar} \vec{F} \cdot \vec{B}$$

$$\Delta E_z = \mu_B g_F M_F B$$



$$\vec{E} = \frac{A_{\text{hfs}}}{2} (F^2 - J^2 - I^2) + \mu_B g_F M_F B$$

